

**RISPOSTA AL PUNTO 4c**

STABILITA' IN CONDIZIONI STATICHE

SUPERFICI LIBERE

# DISCARICA DI CA' LUCIO COMUNE DI URBINO

Analysis Method: Bishop, Ordinary and Janbu  
 Seismic Coefficient: horz: 0, vert: 0

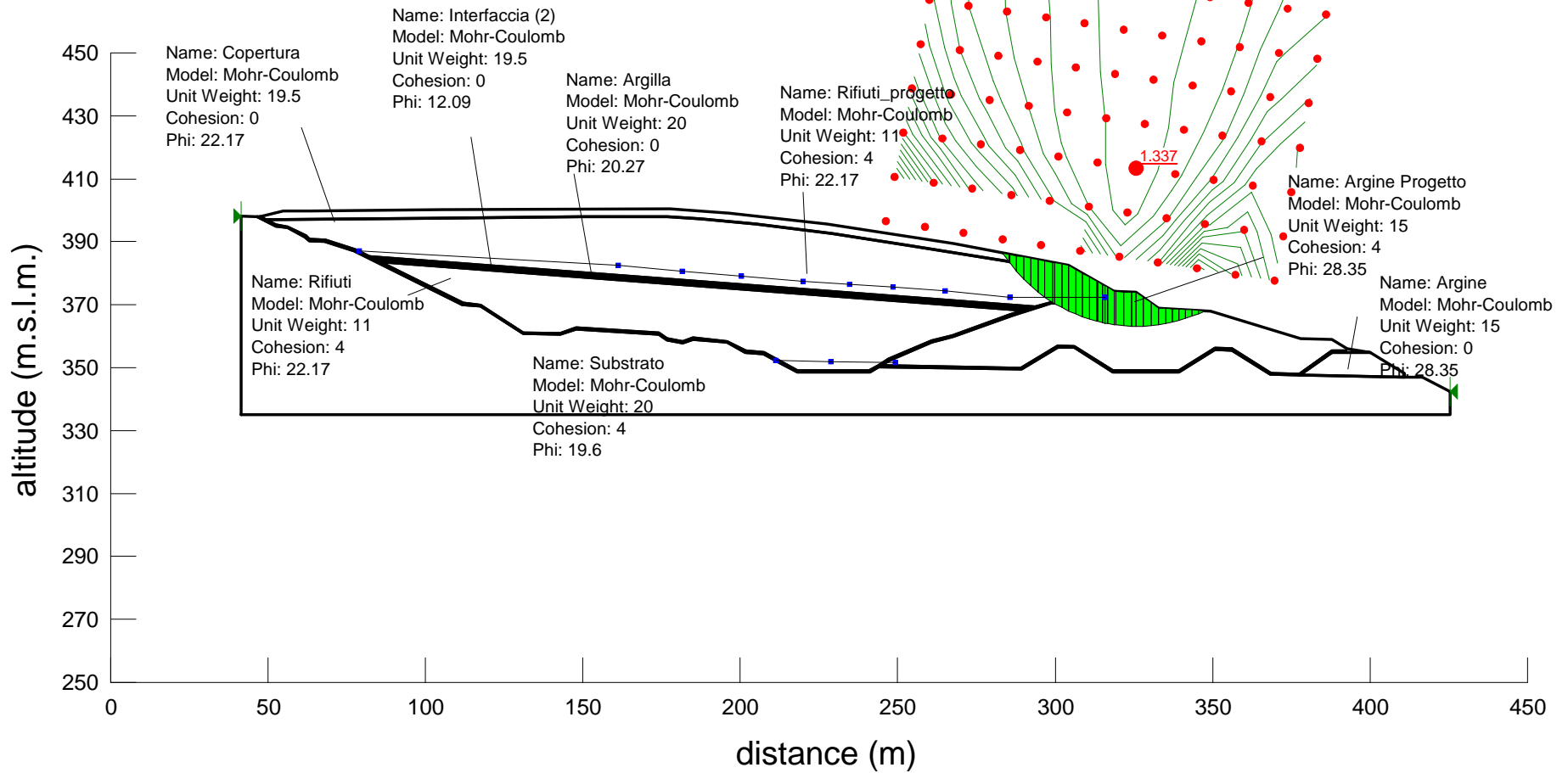


Figura 1.a: Situazione corrispondente a quella della Figura 1.a della Relazione geotecnica (Fs passa da 1.460 a 1.337)

STABILITA' IN CONDIZIONI STATICHE

SUPERFICI IMPOSTE

# DISCARICA DI CA' LUCIO COMUNE DI URBINO

Analysis Method: Bishop, Ordinary and Janbu  
 Seismic Coefficient: horz: 0, vert: 0

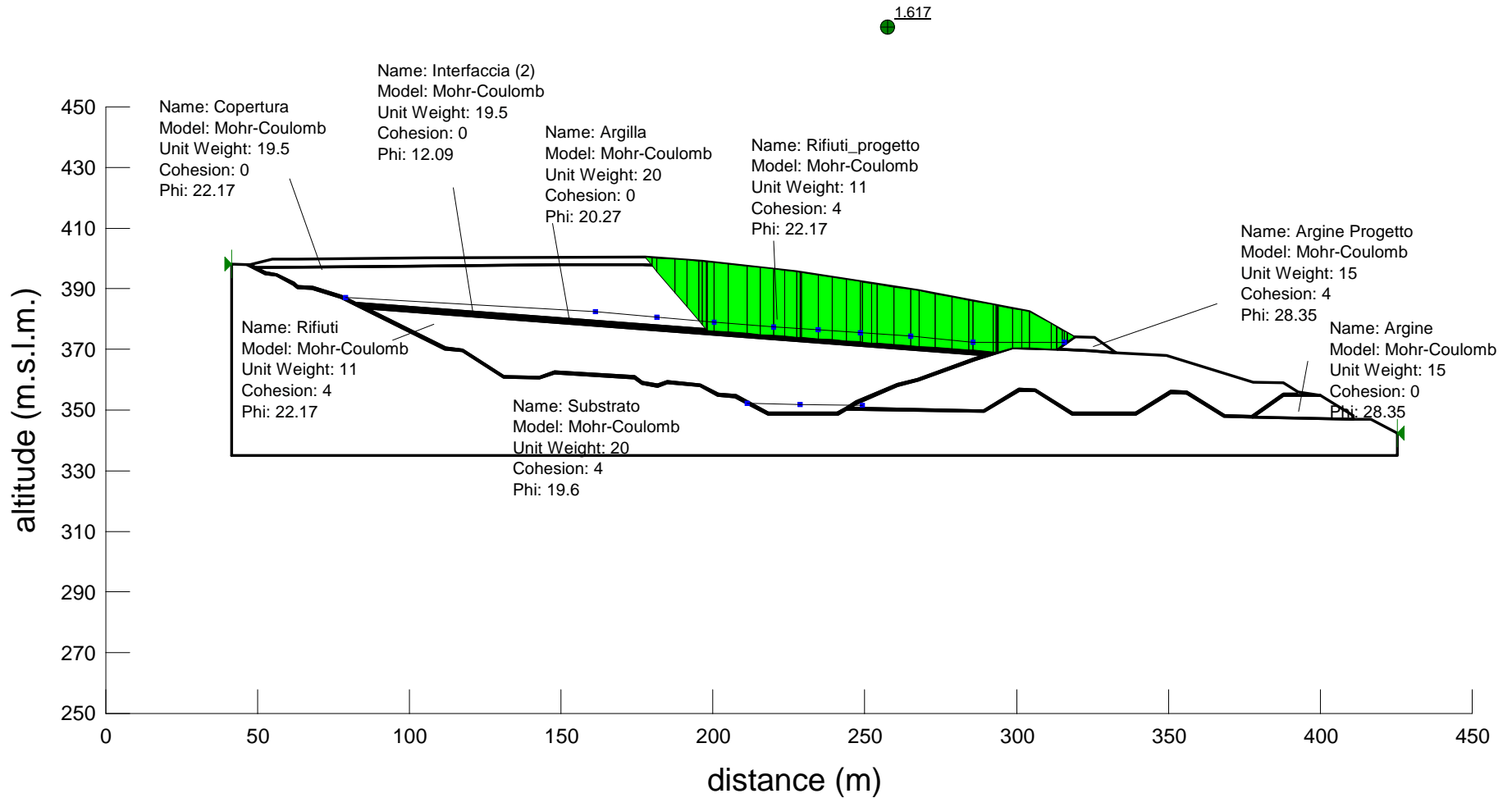


Figura 2.a: Situazione corrispondente a quella della Figura 4.a (la peggiore delle imposte) della Relazione geotecnica (Fs passa da 1.794 a 1.617)

# DISCARICA DI CA' LUCIO COMUNE DI URBINO

Analysis Method: Bishop, Ordinary and Janbu  
 Seismic Coefficient: horz: 0, vert: 0

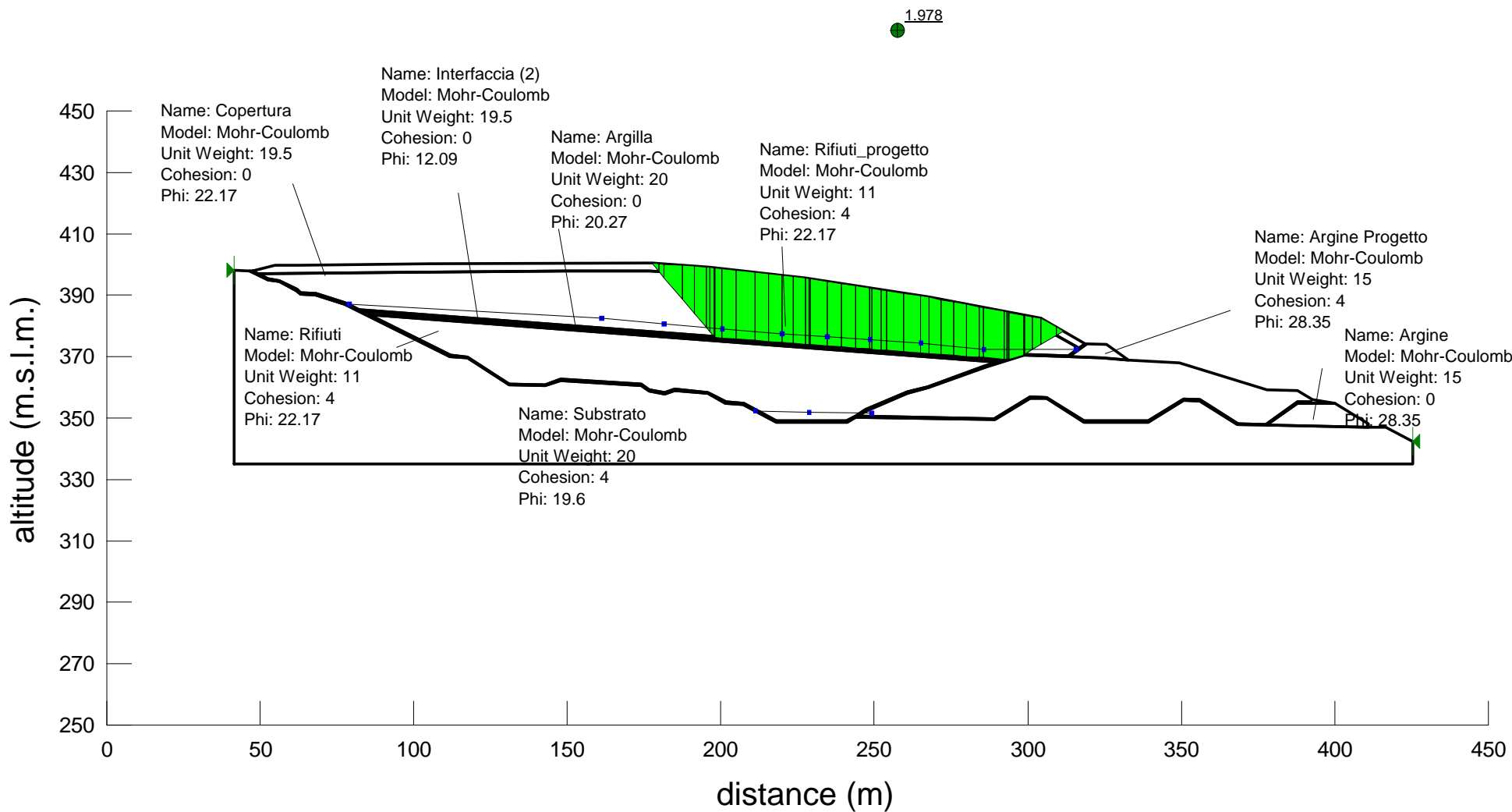


Figura 3.a: Situazione corrispondente a quella della Figura 5.a della Relazione geotecnica ( $F_s$  passa da 2.161 a 1.978)

STABILITA' IN CONDIZIONI PSEUDO - STATICHE

SUPERFICI LIBERE

# DISCARICA DI CA' LUCIO COMUNE DI URBINO

Analysis Method: Bishop, Ordinary and Janbu  
 Seismic Coefficient: horz: 0.078, vert: 0.039

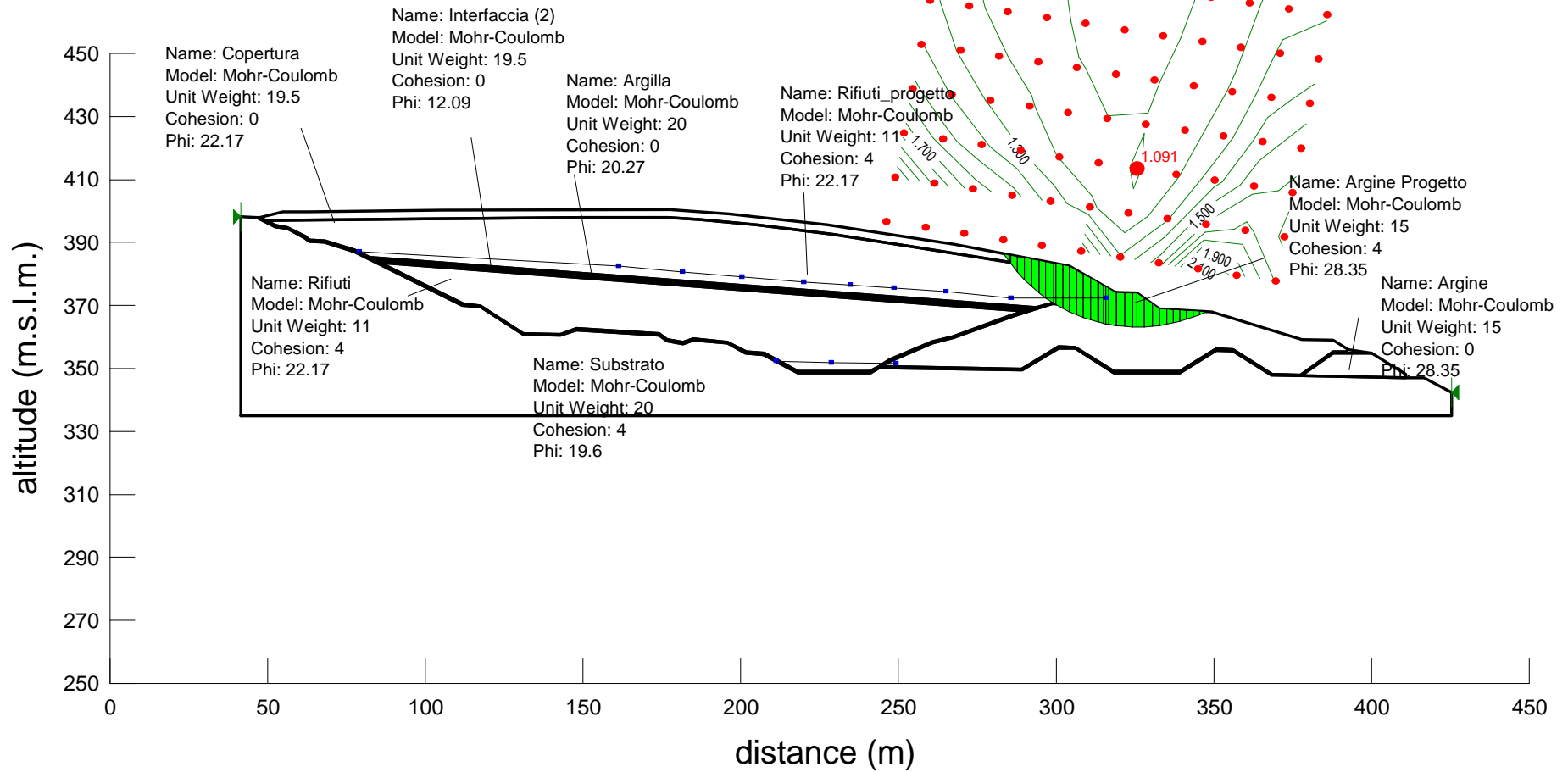


Figura 1.b: Situazione corrispondente a quella della Figura 1.a della Relazione geotecnica ( $F_s$  passa da 1.166 a 1.091)



STABILITA' IN CONDIZIONI PSEUDO-STATICHE

SUPERFICI IMPOSTE

# DISCARICA DI CA' LUCIO COMUNE DI URBINO

Analysis Method: Bishop, Ordinary and Janbu

Seismic Coefficient: horz: 0.078, vert: 0.039

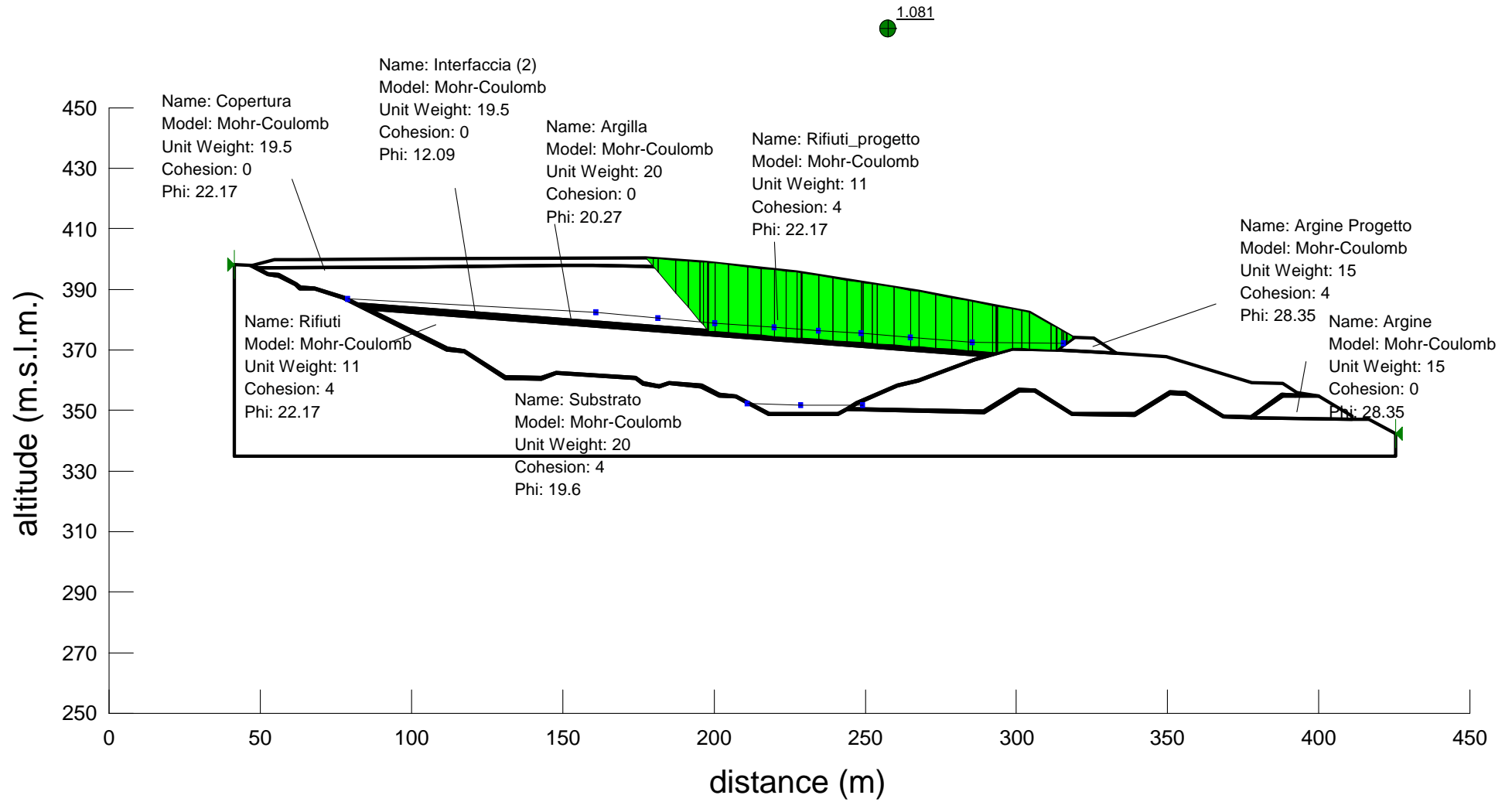


Figura 2.b: Situazione corrispondente a quella della Figura 4.b della Relazione geotecnica ( $F_s$  passa da 1.184 a 1.081)

# DISCARICA DI CA' LUCIO COMUNE DI URBINO

Analysis Method: Bishop, Ordinary and Janbu  
 Seismic Coefficient: horz: 0.078, vert: 0.039

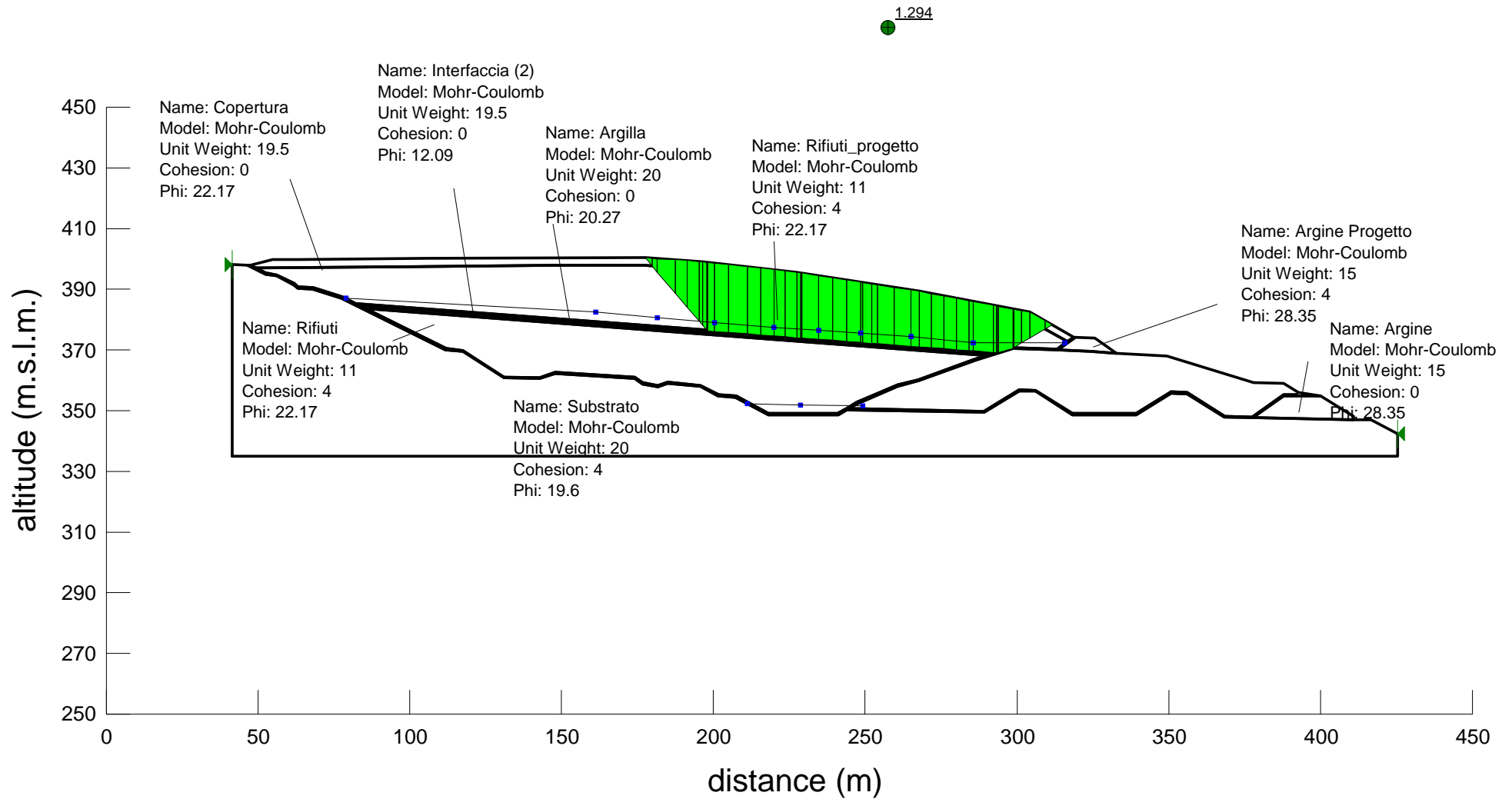


Figura 3.b: Situazione corrispondente a quella della Figura 5.b della Relazione geotecnica ( $F_s$  passa da 1.393 a 1.294)

**RISPOSTA AL PUNTO 4e**



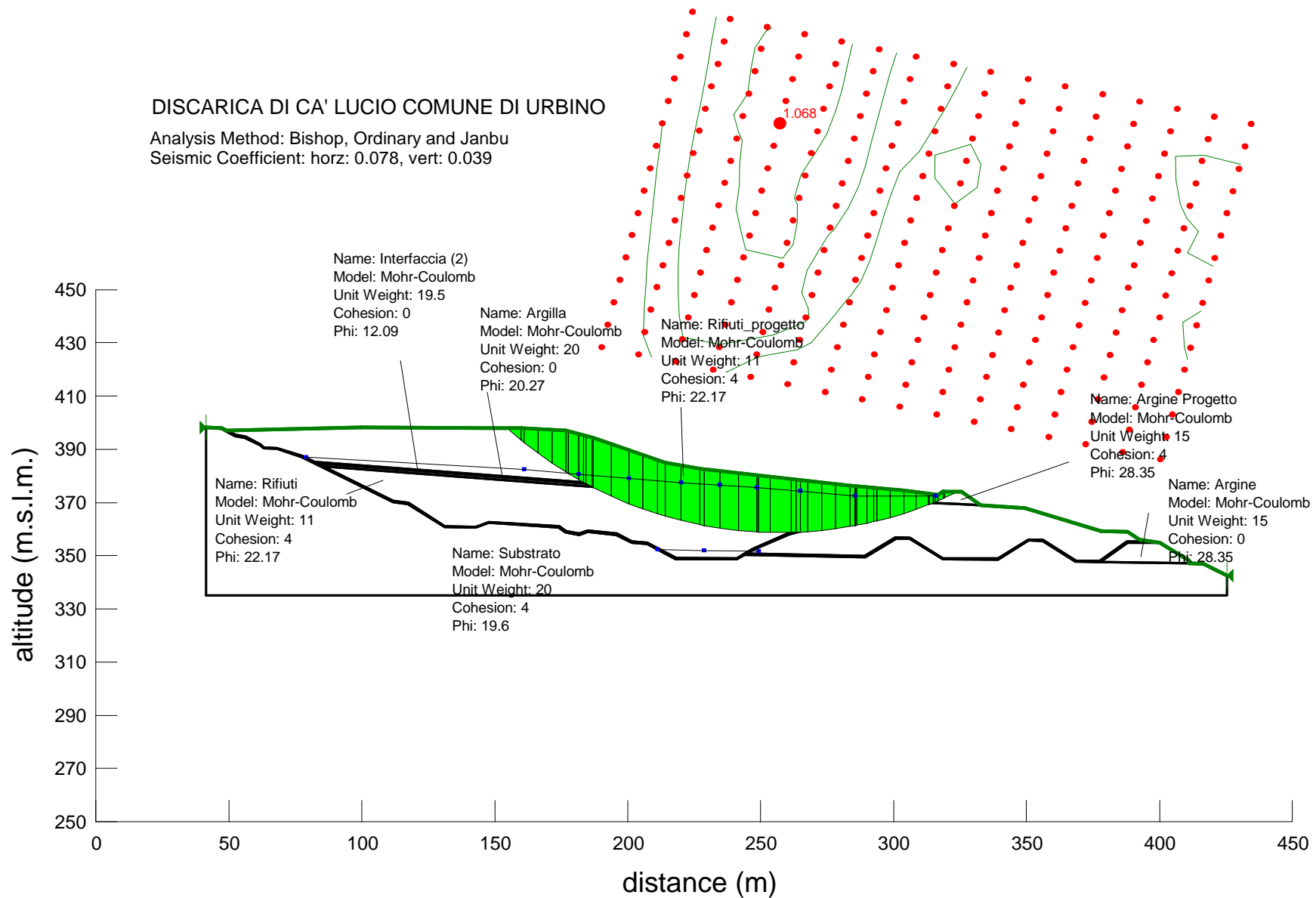


Figura 4.b: Stabilità in condizioni pseudosatiche della condizione peggiore (Fase 3) durante la coltivazione della discarica

**RISPOSTA AL PUNTO 4g**

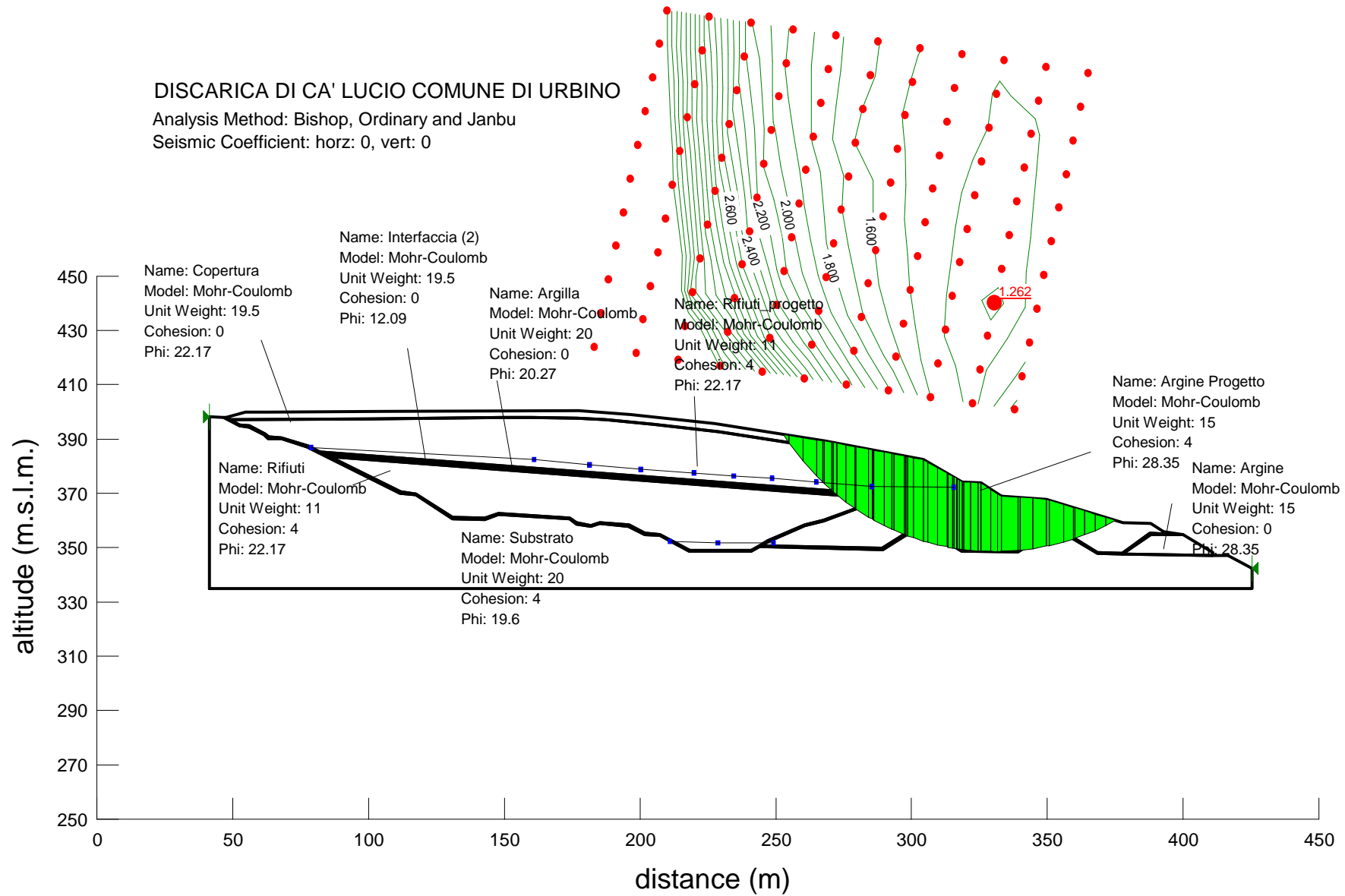


Figura 5.a: Superficie di scivolamento libera che passa all'interno del corpo rifiuti della vecchia discarica



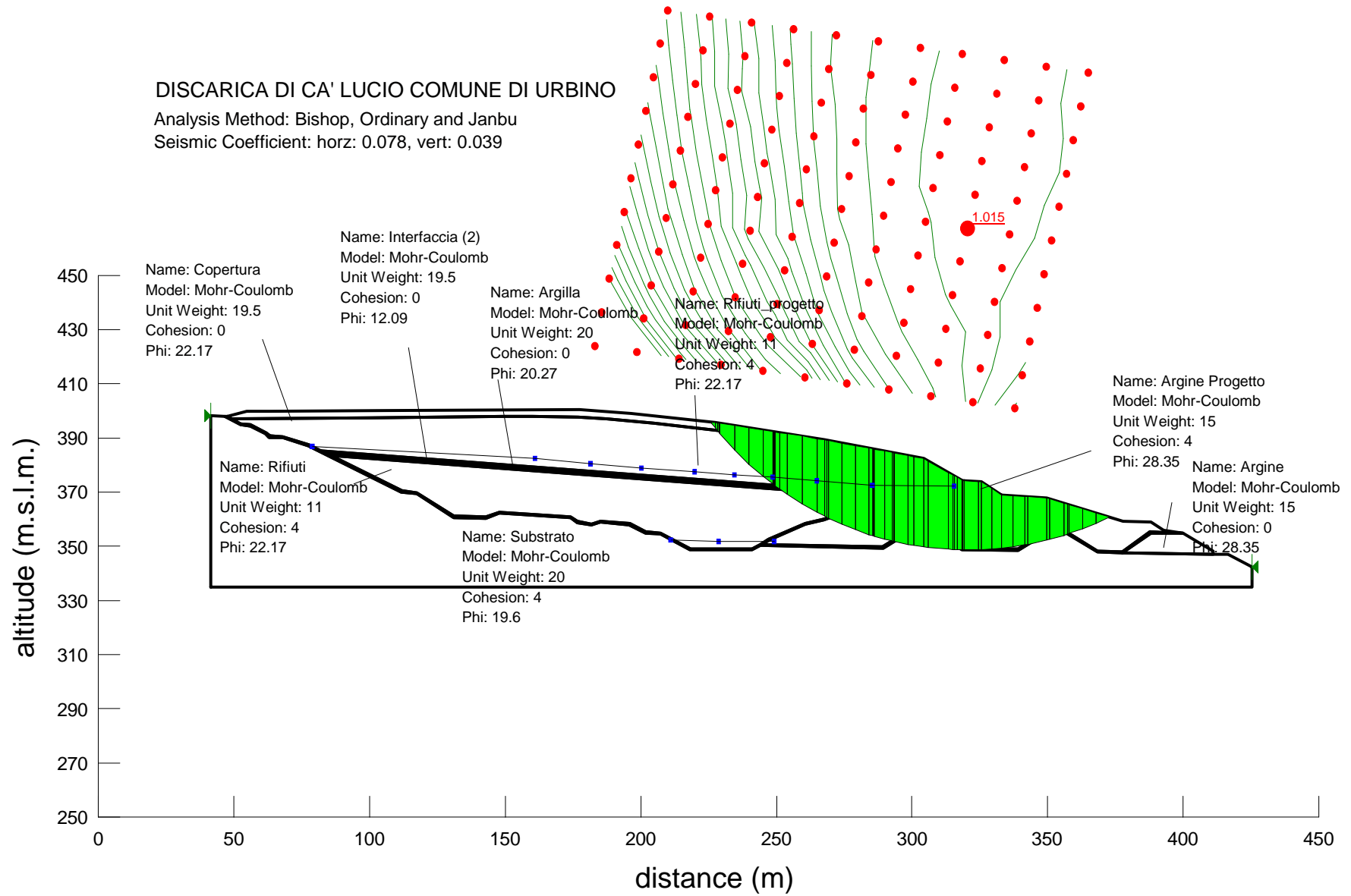


Figura 5.b: Superficie di scivolamento libera che passa all'interno del corpo rifiuti della vecchia discarica (Fs passa 1.015)

**RISPOSTA AL PUNTO 5**

# DISCARICA DI CA' LUCIO COMUNE DI URBINO

Analysis Method: Bishop, Ordinary and Janbu

Seismic Coefficient: horz: 0, vert: 0

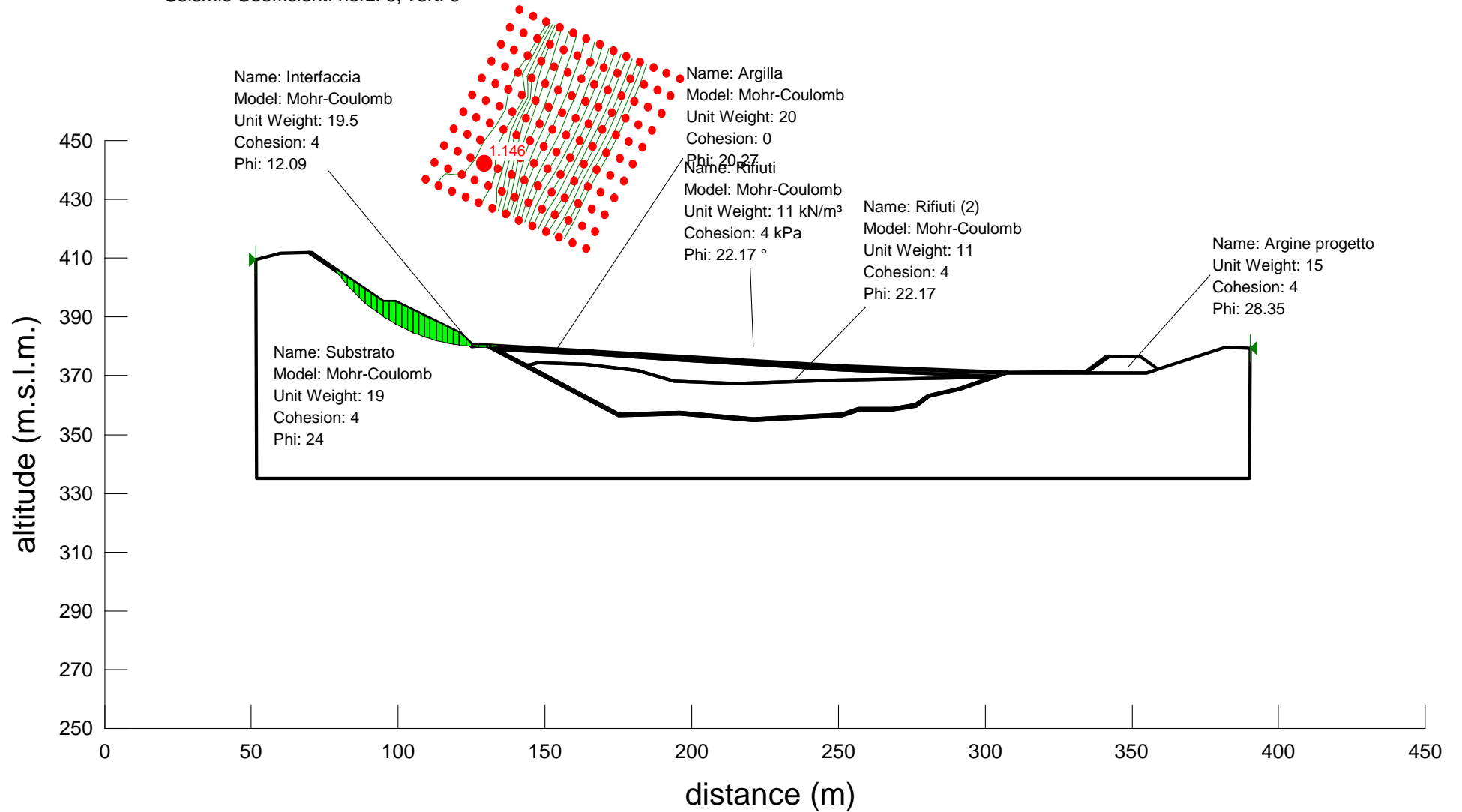


Figura 6: Analisi in condizioni statiche della berma di progetto

**RISPOSTA AL PUNTO 6**

# DISCARICA DI CA' LUCIO COMUNE DI URBINO

Analysis Method: Bishop, Ordinary and Janbu  
 Seismic Coefficient: horz: 0.078, vert: 0.039

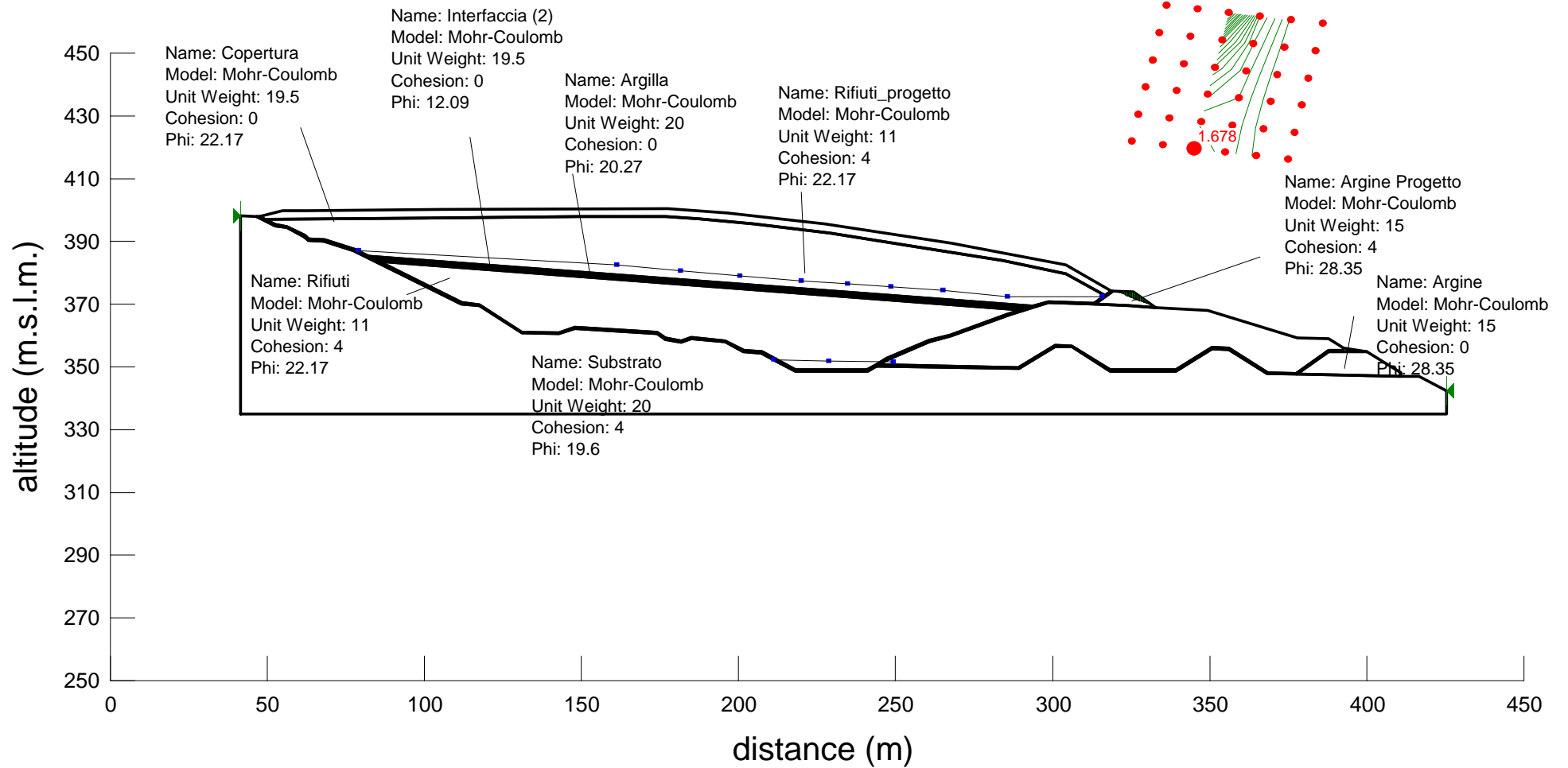


Figura 7.1.a: Analisi in condizioni pseudo statiche del paramento esterno del rilevato arginale di valle

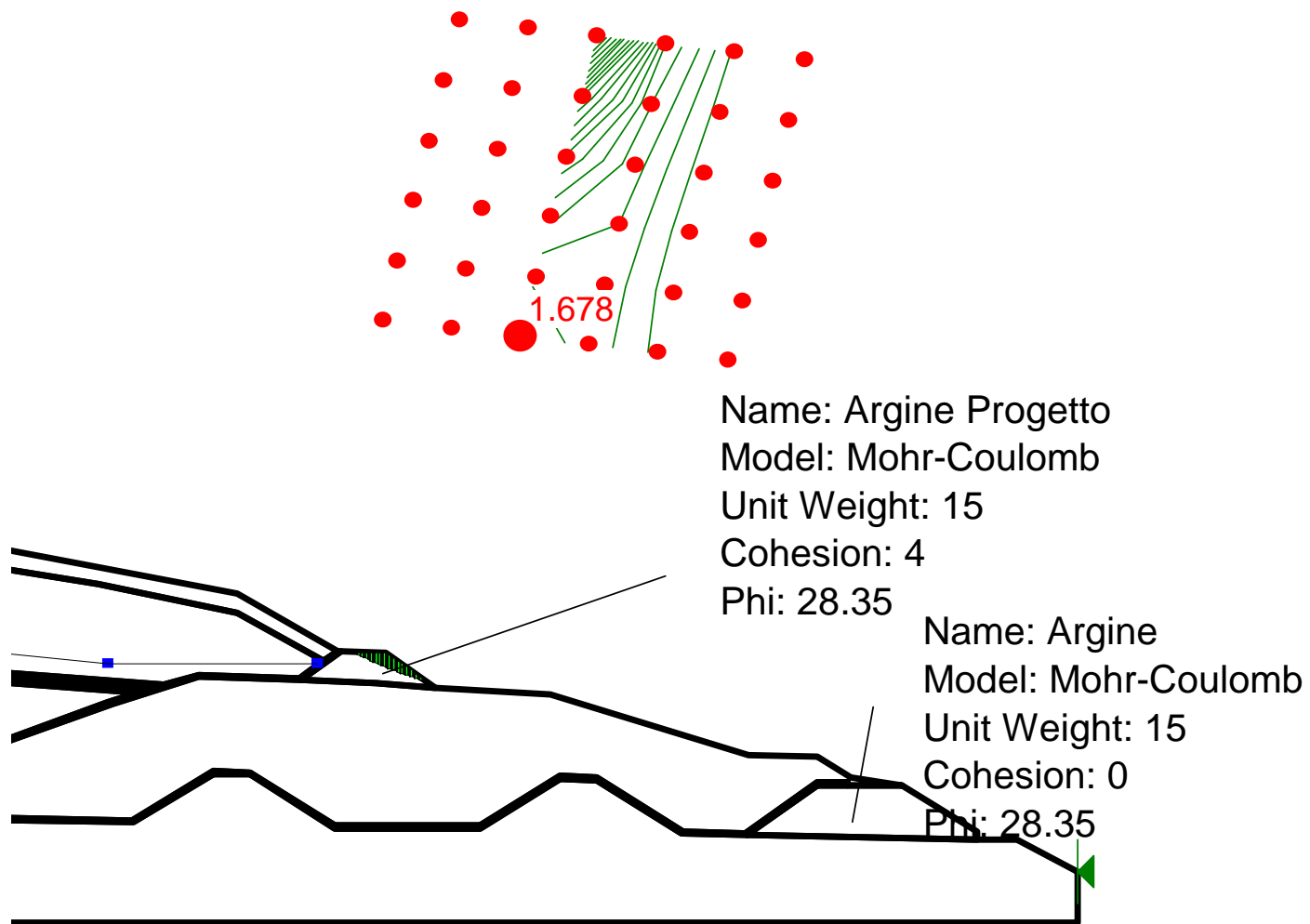


Figura 7.2.a: Analisi in condizioni pseudo statiche del paramento esterno del rilevato arginale di valle (particolare)

# DISCARICA DI CA' LUCIO COMUNE DI URBINO

Analysis Method: Bishop, Ordinary and Janbu

Seismic Coefficient: horz: 0, vert: 0

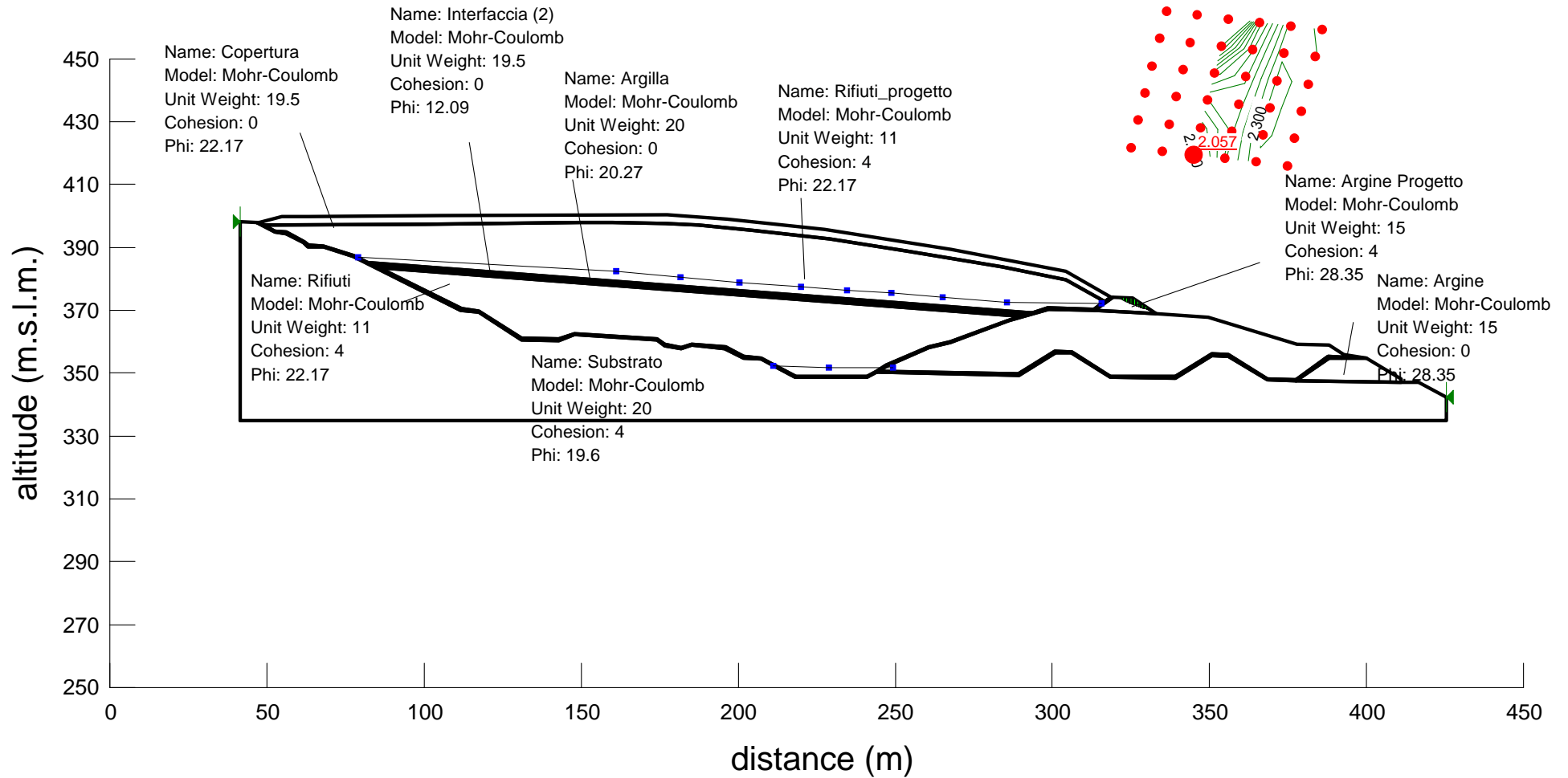


Figura 7.1.b: Analisi in condizioni statiche del paramento esterno del rilevato arginale di valle

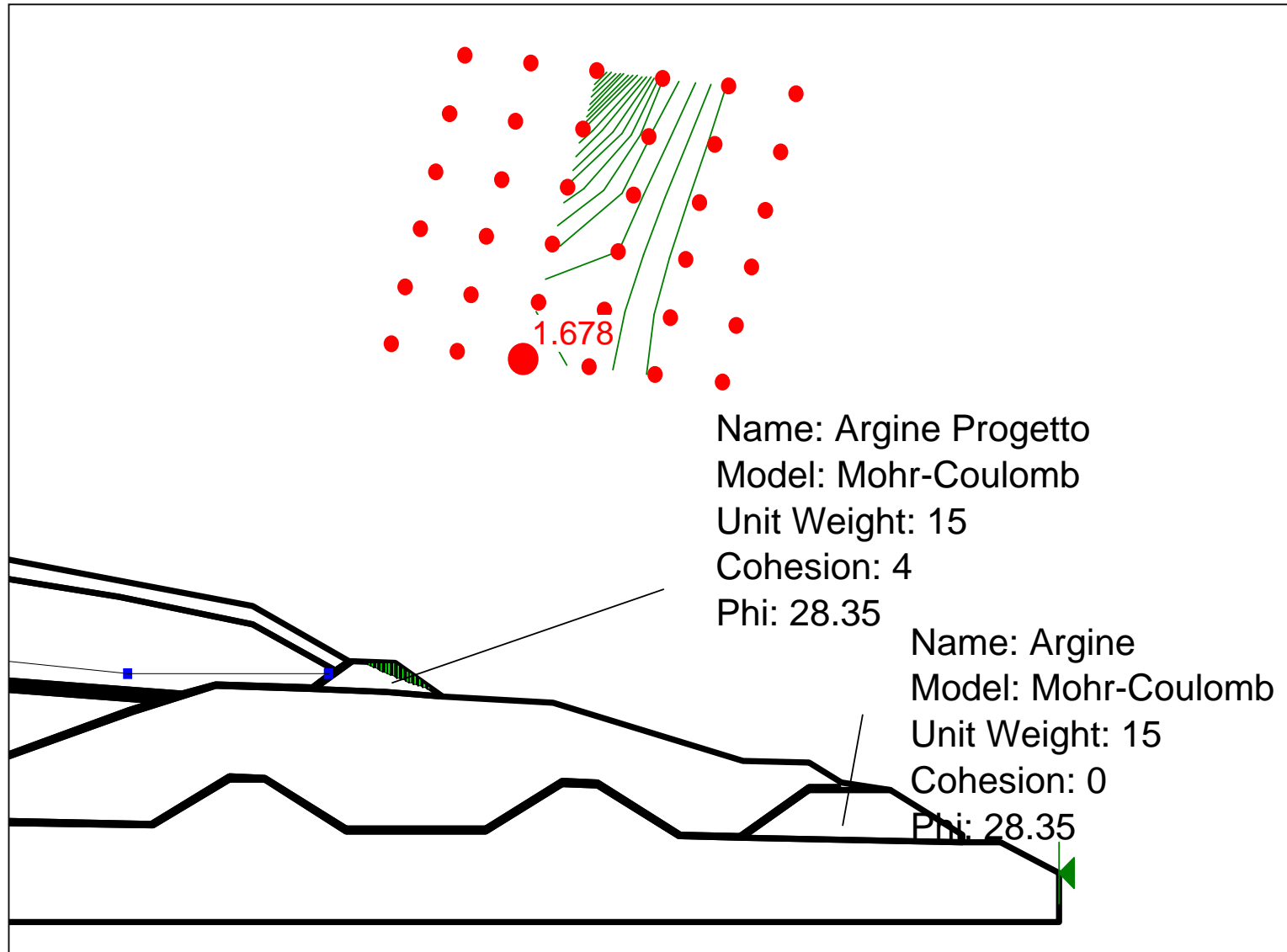


Figura 7.2.b: Analisi in condizioni statiche del paramento esterno del rilevato arginale di valle (particolare)



**RISPOSTA AL PUNTO 7**

# DISCARICA DI CA' LUCIO COMUNE DI URBINO

Analysis Method: Bishop, Ordinary and Janbu  
 Seismic Coefficient: horz: 0, vert: 0

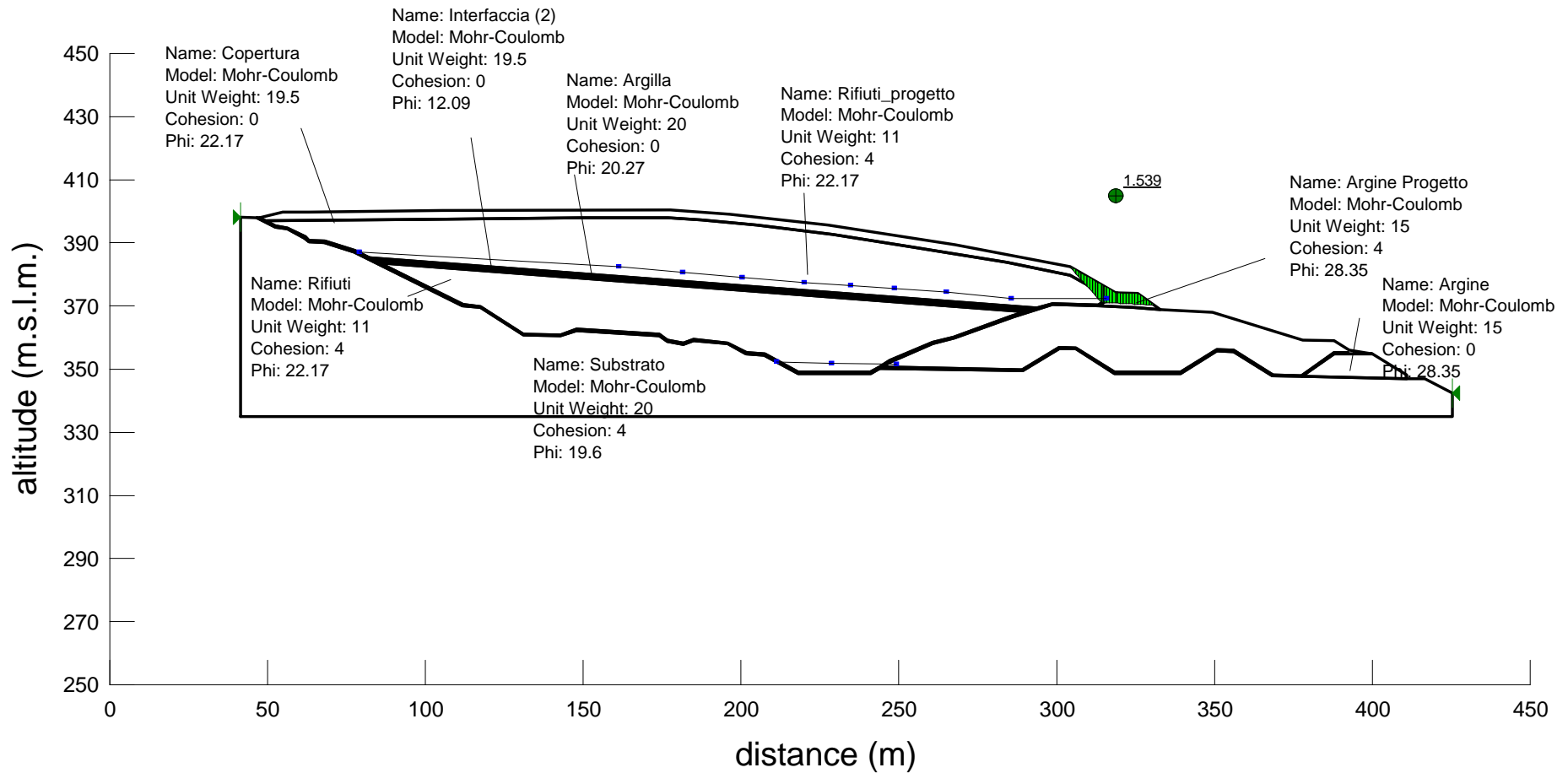


Figura 8.1.a: Verifica allo scivolamento in condizioni pseudo - statiche del rilevato arginale di valle; superficie di rottura imposta lungo la linea di mobilitazione della spinta attiva

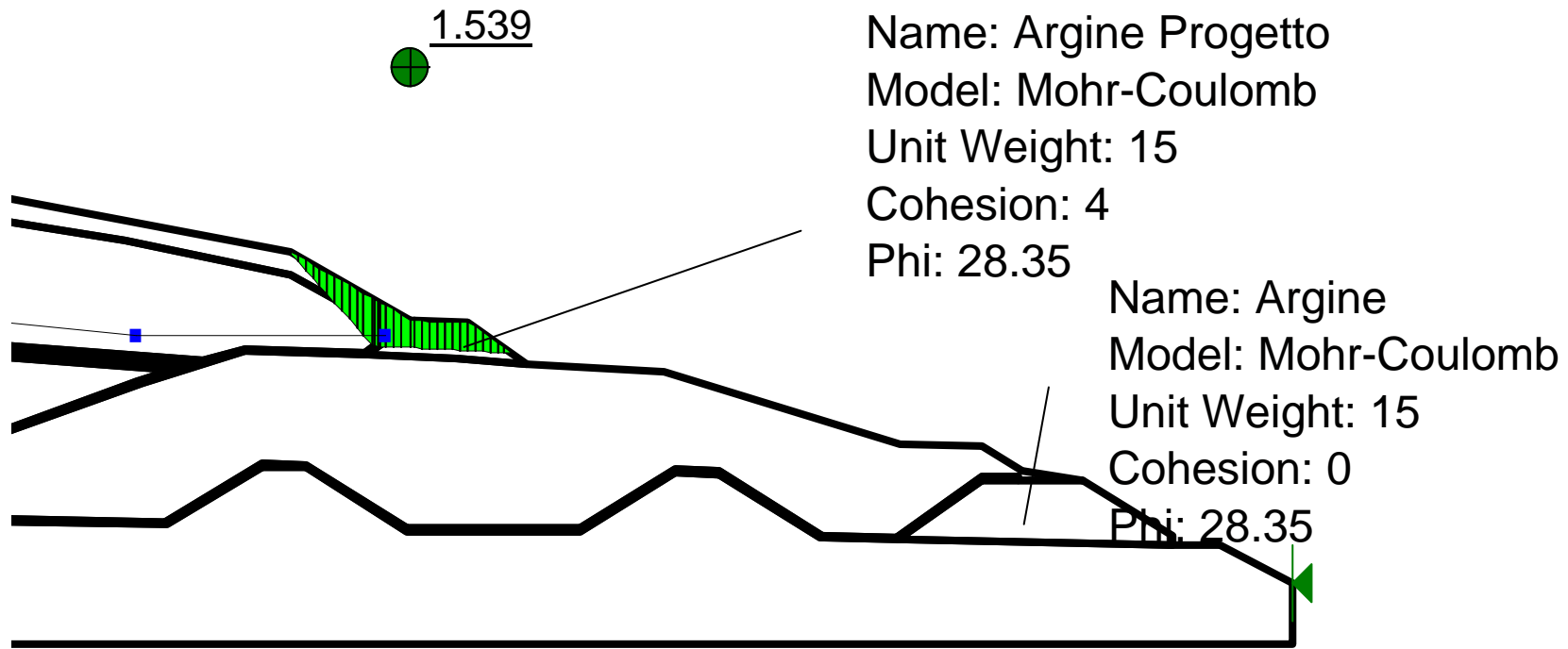


Figura 8.2.a: Verifica allo scivolamento in condizioni pseudo - statiche del rilevato arginale di valle; superficie di rottura imposta lungo la linea di mobilitazione della spinta attiva (particolare)

# DISCARICA DI CA' LUCIO COMUNE DI URBINO

Analysis Method: Bishop, Ordinary and Janbu  
 Seismic Coefficient: horz: 0.078, vert: 0.039

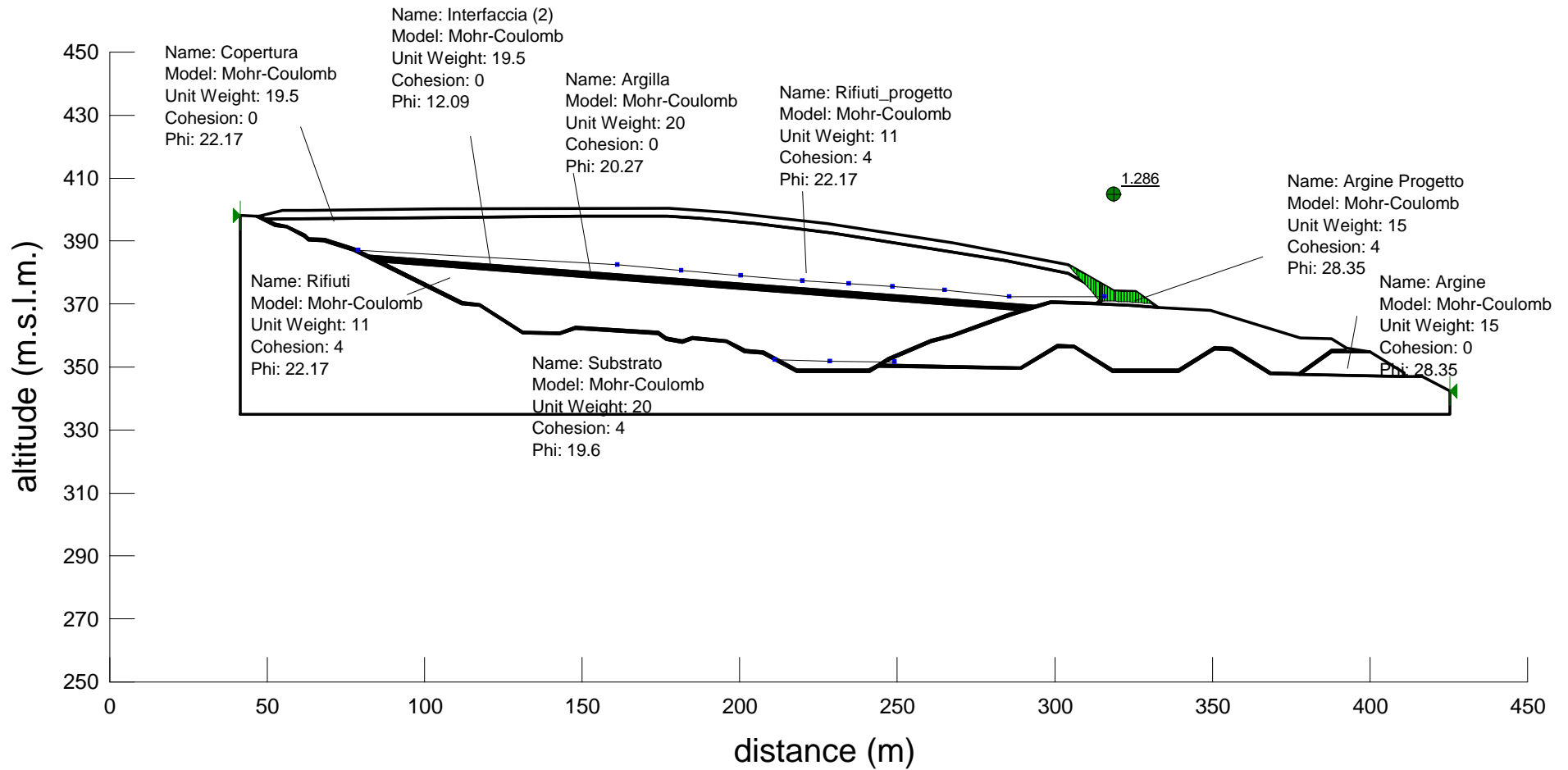


Figura 8.2.a: Verifica allo scivolamento in condizioni statiche del rilevato arginale di valle; superficie di rottura imposta lungo la linea di mobilitazione della spinta attiva

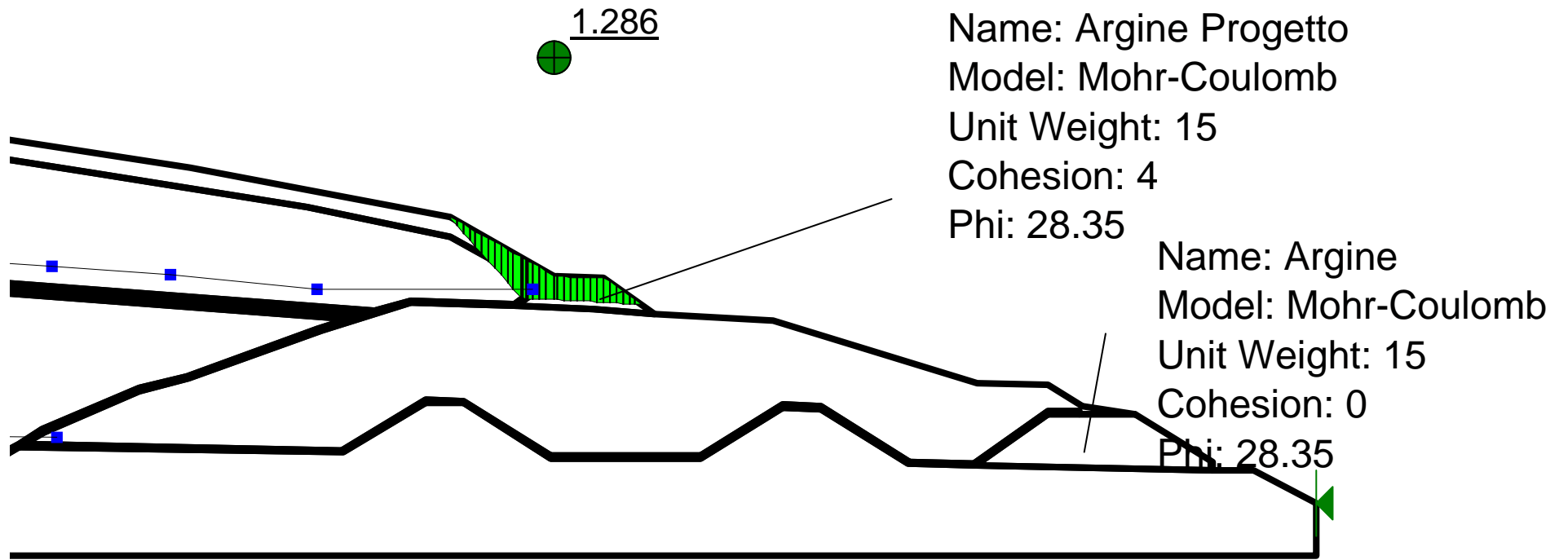


Figura 8.2.b: Verifica allo scivolamento in condizioni statiche del rilevato arginale di valle; superficie di rottura imposta lungo la linea di mobilitazione della spinta attiva (particolare)